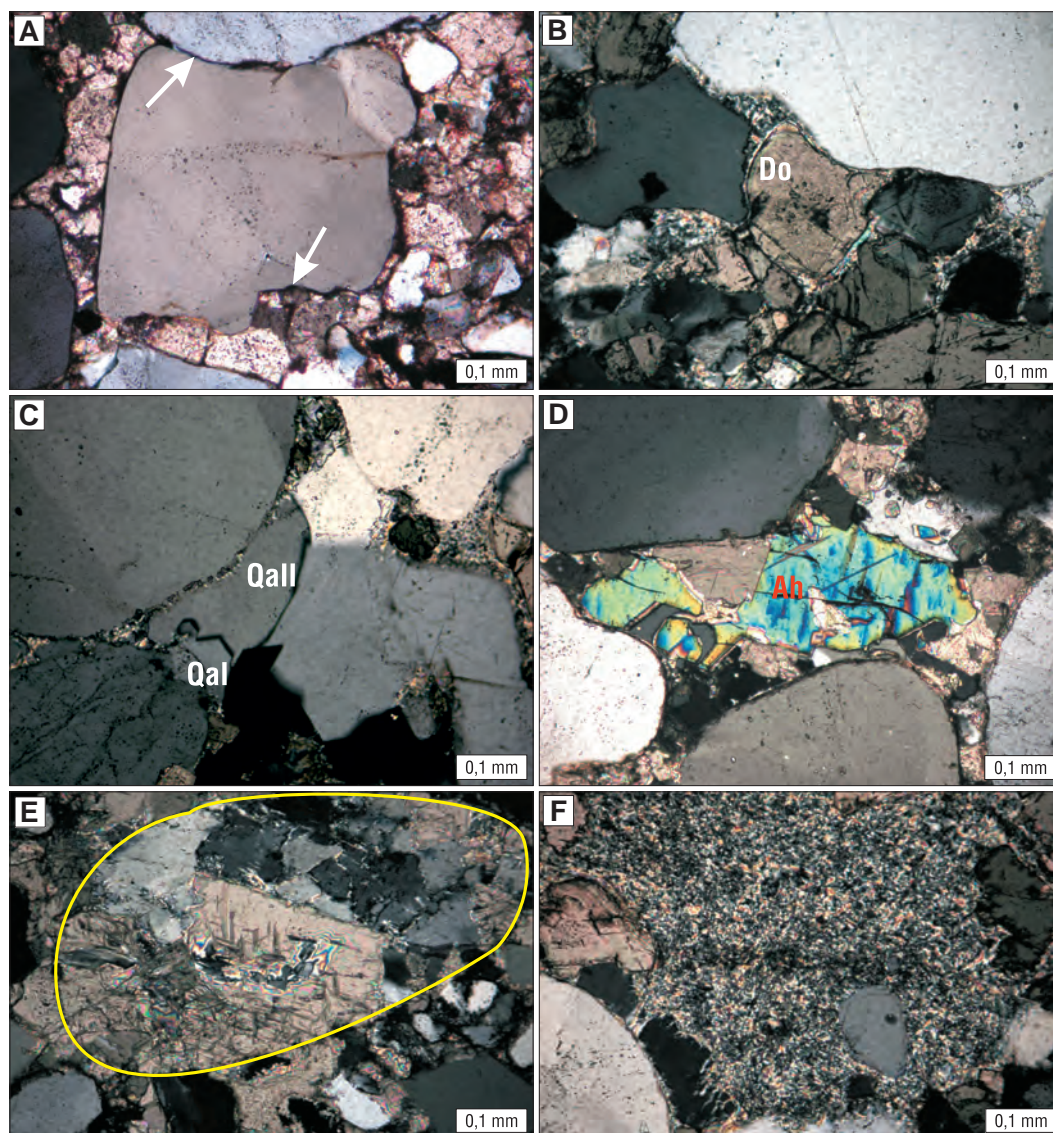


**Skály osadowe czerwonego spągowca w wierceniu Kutno 2  
w warunkach postulowanego jurajskiego wydarzenia termicznego  
oraz wysokich nacisków – studium petrograficzne (patrz str. 365)**

**Rotliegend sedimentary rocks in the Kutno 2 well under conditions of a postulated  
Jurassic thermal event and high overpressure – a petrographic study (see p. 365)**



**Ryc. 3.** Fotografie mikroskopowe. **A** – fragment piaskowca średnioziarnistego; widoczne spoiwo węglanowe oraz obwódki ilasto-żelaziste (strzałki) na ziarnie kwarcu detrytycznego; głęb. 6497,9 m; obraz z mikroskopu polaryzacyjnego; nikole skrzyżowane; **B** – fragment zlepieńca drobnookruchowego; w spoiwie widoczny subhedralny romboedr dolomitu (Do) z czytelną budową pasową; głęb. 6464,5 m; obraz z mikroskopu polaryzacyjnego; nikole skrzyżowane; **C** – fragment zlepieńca drobnookruchowego; w spoiwie widoczne dwie generacje kwarcu autogenicznego (QaI, QaII); głęb. 6464,5 m; obraz z mikroskopu polaryzacyjnego; nikole skrzyżowane; **D** – fragment piaskowca o składzie arenitu sublitycznego; widoczne spoiwo anhydrytowe (Ah) i dolomitowe; głęb. 6543,5 m; obraz z mikroskopu polaryzacyjnego; nikole skrzyżowane; **E** – fragment arenitu sublitycznego; widoczny częściowo skarbonatyzowany okruch skalny (żółty zarys); głęb. 6472,2 m; obraz z mikroskopu polaryzacyjnego; nikole skrzyżowane; **F** – fragment zlepieńca drobnookruchowego; widoczny silnie przeobrażony okruch skały wylewnej; głęb. 6464,5 m; obraz z mikroskopu polaryzacyjnego; nikole skrzyżowane

**Fig. 3.** Photomicrographs. **A** – fragment of medium-grained sandstone; carbonate cement and clayey-ferrous rims (arrows) on a detrital quartz grain are visible; 6497.9 m depth; polarizing microscope image; crossed nicols; **B** – fragment of fine-grained conglomerate; subhedral dolomite rhombohedron (Do), displaying a zonal structure, in the cement are visible; depth: 6464.5 m; polarizing microscope image; crossed polarizers; **C** – fragment of fine-grained conglomerate; two generations of authigenic quartz (QaI, QaII) is visible in the cement; depth 6464.5 m; polarizing microscope image; crossed polarizers; **D** – fragment of sandstone with the composition of sublithic arenite; anhydrite and dolomite cements are visible (Do) are visible; depth 6543.5 m; polarizing microscope image; crossed polarizers; **E** – fragment of sublithic arenite; partially carbonated rock fragment is visible (yellow outline); depth: 6472.2 m; polarizing microscope image; crossed polarizers; **F** – fragment of the fine-grained conglomerate; strongly altered rock clast is visible; depth: 6464.5 m; polarizing microscope image; crossed polarizers